

АВТОМАТИЗИРОВАННЫЙ ПОВЕРОЧНЫЙ СТЕНД ДЛЯ ИЗМЕРЕНИЯ СКОРОСТИ ВОЗДУШНОГО ПОТОКА

Н.А.Греков

Морской гидрофизический институт
НАН Украины
г.Севастополь, ул.Капитанская, 2

Ведомствам и организациям, занимающимся контролем окружающей среды, необходимо иметь поверочные стенды для аттестации средств измерений воздушного потока.

В качестве образцовых средств созданы различные поверочные установки с использованием пневтометрического, механического, термоанемометрического и абсолютного (время-пролетного, оптического, ультразвукового) методов измерения скорости воздушных потоков.

Для измерения средней скорости потока в диапазоне 0,6 - 7 м/с (с погрешностью измерения 5-7%) применяются термоанемометры, которые аттестуются в двухсекционной аэродинамической трубе [2,3], где скорость потока контролируется в узком конфузоре с помощью образцовой напорной трубки и микроманометра. Выходные диаметры широкого и узкого конфузоров равны 70 и 20 мм соответственно.

Поэтому представляет интерес разработка поверочного стенда, позволяющего измерять скорость потока в диапазоне менее 5 м/с с меньшей погрешностью.

Рассмотрим возможности методики измерения скорости потока через измерение объемного расхода воздуха.

Конструктивно поверочный стенд может состоять из аэродинамической трубы открытого типа, на входе которой расположен конфузор с сечением S. На выходе аэродинамической трубы подсоединен счетчик объемного расхода воздуха ротационного типа. Скорость потока воздуха V в рабочей части аэродинамической трубы выразим через среднюю скорость V_{cp}:

$$V_{cp} = k \cdot V, \quad (1)$$

где k - коэффициент конфузора, определяемый при аттестации.

Тогда расход газа плотностью ρ₁ на единицу площади сечения конфузора S через объемный расход Q опишем выражением:

$$V_{cp} \cdot S \cdot \rho_1 = k \cdot V \cdot S \cdot \rho_1 = Q \cdot \rho_1, \quad (2)$$

где: ρ₂ - плотность газа в измерителе объемного расхода. Из выражения (2) определим скорость потока V

$$V = \frac{Q \cdot \rho_2}{k \cdot S \cdot \rho_1} \quad (3)$$

В реальных условиях плотность воздуха зависит от изменения влажности, давления, температуры. Влияние влажности на плотность воздуха незначительное, так как изменение влажности на 20 % при температуре 20°C приводит к изменению плотности на 0,2%.

С учетом влияния температуры и давления на изменения плотности, выражение (3) можем записать как:

$$V = \frac{Q \cdot T_1 \cdot (1 - \Delta P / Pa)}{k \cdot T_2 \cdot S}, \quad (4)$$

где T₁ - температура воздуха в аэродинамической трубе открытого типа соответствует температуре в помещении, где установлен поверочный стенд; Pa - атмосферное давление; ΔP - разность между давлениями на входе аэродинамической трубы и входе датчика объемного расхода Q; T₂ - температура в камере датчика объемного расхода. Знак минус в выражении (4) указывает на то, что на выходе аэродинамической трубы или, вернее, после датчика объемного расхода, который подсоединен последовательно к ней, создается разжение воздушного потока.

Анализируя выражение (4), сделаем оценку измеряемых параметров и их вклад в погрешность измерения скорости потока.

Используя образцовый счетчик объемного расхода ротационного типа, можно измерять Q в диапазоне от 0,04 до 10 м³/ч с погрешностью 0,5%. Изменение давления ΔP на 1 кПа приводит к изменению объема на 1%, следовательно, для диапазона ΔP = 10 кПа необходимо иметь дифференциальный датчик давления с погрешностью не хуже 1%.

Так как атмосферное давление в граничном случае может изменяться всего на 660 Па, что в процентном отношении составляет около 0,6 % от P_a. Поэтому измеритель атмосферного давления в стенде устанавливать нет необходимости.

Изменение температуры между T₁ и T₂ на 2,7°C приведет к изменению объема на 1%. Следовательно температуры T₁ и T₂ необходимо

димо контролировать с точностью не хуже 0,2°C.

Учитывая, что на изменение сечения конфузора влияет температура T_1 , введем поправочный коэффициент m , который учитывает это влияние:

$$m = 1 + 2 \alpha \cdot (T_1 - T_0) , \quad (5)$$

где α - коэффициент линейного расширения материала конфузора; T_0 - температура, при которой измеряют диаметр отверстия d в момент аттестации конфузора.

Окончательно выражение для определения скорости потока с учетом вышеперечисленных факторов запишем как:

$$V = \frac{4 Q \cdot T_1 \cdot (1 - \Delta P / Pa)}{\pi k \cdot T_2 \cdot d^2 [1 + 2 \alpha \cdot (T_1 - T_0)]^2} , \quad (6)$$

В уравнении 6 параметры давления и температуры зависят от внешних факторов и их необходимо контролировать во время проведения измерения. Для поддержания в аэродинамической трубе постоянства скорости потока V необходимо, в зависимости от изменения давления и температуры, автоматически регулировать величину объемного расхода, который контролируется датчиком Q .

Выбор диаметра конфузора d зависит от необходимого диапазона скоростей потока V и габаритных размеров проверяемых рабочих измерительных средств, которые влияют на ΔP .

График зависимости диаметра конфузора от диапазона скорости для датчика объемного расхода до 10 м³/ч представлен на рис. 1.

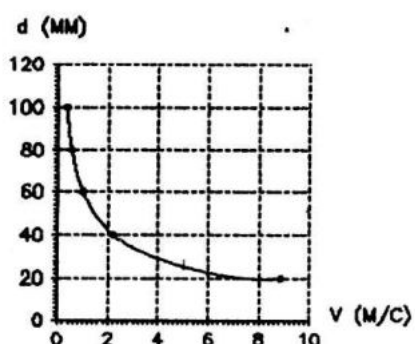


Рис. 1. Зависимость диаметра конфузора от диапазона скорости

Для других диапазонов скоростей необходимо выбирать датчики объемного расхода с соответствующим пределом. Такие датчики выпускаются промышленностью серийно и необходимо только индивидуально аттестовать их.

В НТК "Океан-МГИ" был разработан и изготовлен макет стенда, структурная схема которого без аэродинамической трубы и ПЭВМ представлена на рис. 2.

Стенд состоит из четырех измерительных каналов: разностного давления ΔP ; температуры T_1 и T_2 ; объемного расхода Q . Измерительные каналы T_1 , T_2 и ΔP имеют преобразователи сопротивления в напряжение. Диапазон выходного напряжения преобразователей составляет 0÷+5 В. Опрос аналоговых сигналов осуществляется коммутатором каналов, который управляет процессорного блока. Одновременно процессорный блок управляет двенадцатиразрядным АЦП. Преобразованный сигнал последовательно в двоичном коде преобразуется в формат RS-232. С образцового датчика объемного расхода информация о расходе Q через оптоэлектронный преобразователь оборотов в виде последовательности импульсов поступает в процессорный блок, где так же преобразуется в формат RS-232. Воздушный поток в трубе создается воздуходувкой, лопасти которой приводятся в движение от электродвигателя с регулируемым числом оборотов. В блоке управления электродвигателем используется принцип фазового регулирования. Для согласования сигналов между процессорным блоком и блоком управления двигателем установлен блок фазирования. Исключение влияния вибрации на стенд, возникающей от воздуходувки, достигается за счет установки ее на амортизационной платформе. Кроме того, между соединительной трубкой, идущей от воздуходувки, и датчиком объемного расхода помещают гаситель вибропульсации.

Соединительный кран, расположенный на подводящей трубе, необходим для установки начальных значений воздушного

потока с учетом предельных возможностей датчика объемного расхода.

Информация о параметрах T_1 , T_2 , ΔP , N через RS-232 поступает в ПЭВМ, где по специальной программе с учетом описанного алгоритма, обрабатывается, запоминается и отображается на дисплее. Из ПЭВМ на процессорный блок стенда поступает информация о необходимой скорости вращения (ϕ) электродвигателя воздуховки.

Описанный стенд имеет широкие функциональные возможности. Диапазон скорости воздушного потока можно значительно расширить, взяв для этого датчик расхода Q на больший предел. Кроме этого, с помощью стенда можно поверять счетчики объемного расхода, измерять аэrodинамическое сопротивление установленных в аэrodинамическую трубу

приборов и анализировать их динамические характеристики.

Л и т е р а т у р а

1. Гуткин Б.Г., Кузьмин В.А., Тартаковский Л.Ф. Поверочные гидродинамические стенды. - Труды метрологических институтов СССР, 1975, вып. 157 (217), с. 84-92.

2. Блантер Д.Я., Кузьмин В.А., Попов А.И. Труба для градиуировки измерителей малых скоростей воздушного потока. - Труды "ВНИИМ им. Д.И.Менделеева", 1976, вып. 194 (254), с. 66-68.

3. Блантер Д.Я., Куров Б.В., Рогалев Ю.В. Результаты метрологического исследования образцовой двухсопловой аэrodинамической трубы. - Труды ГГО, 1981, вып. 452, с. 43-51.

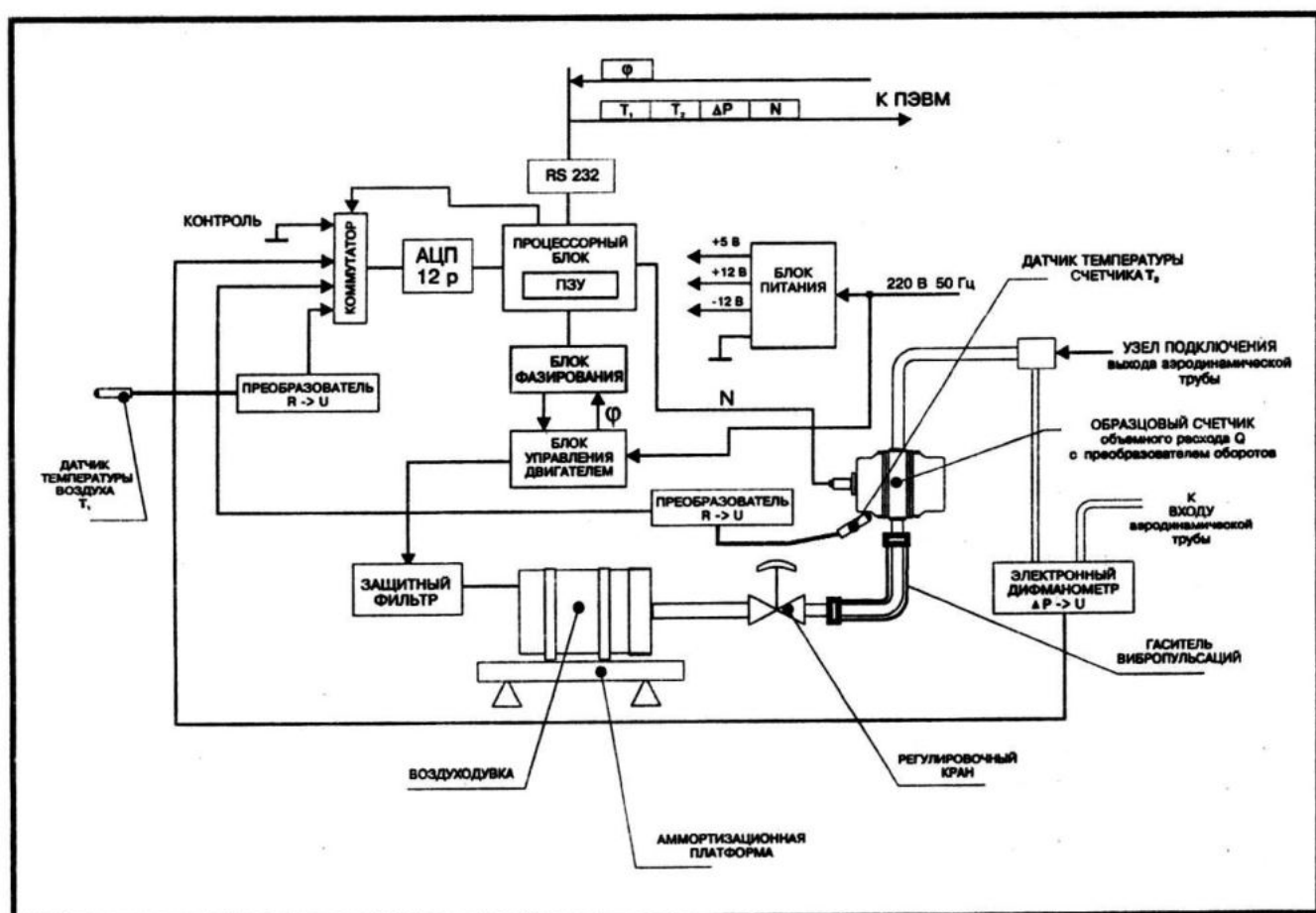


Рис.2 Структурная схема поверочного стендса